



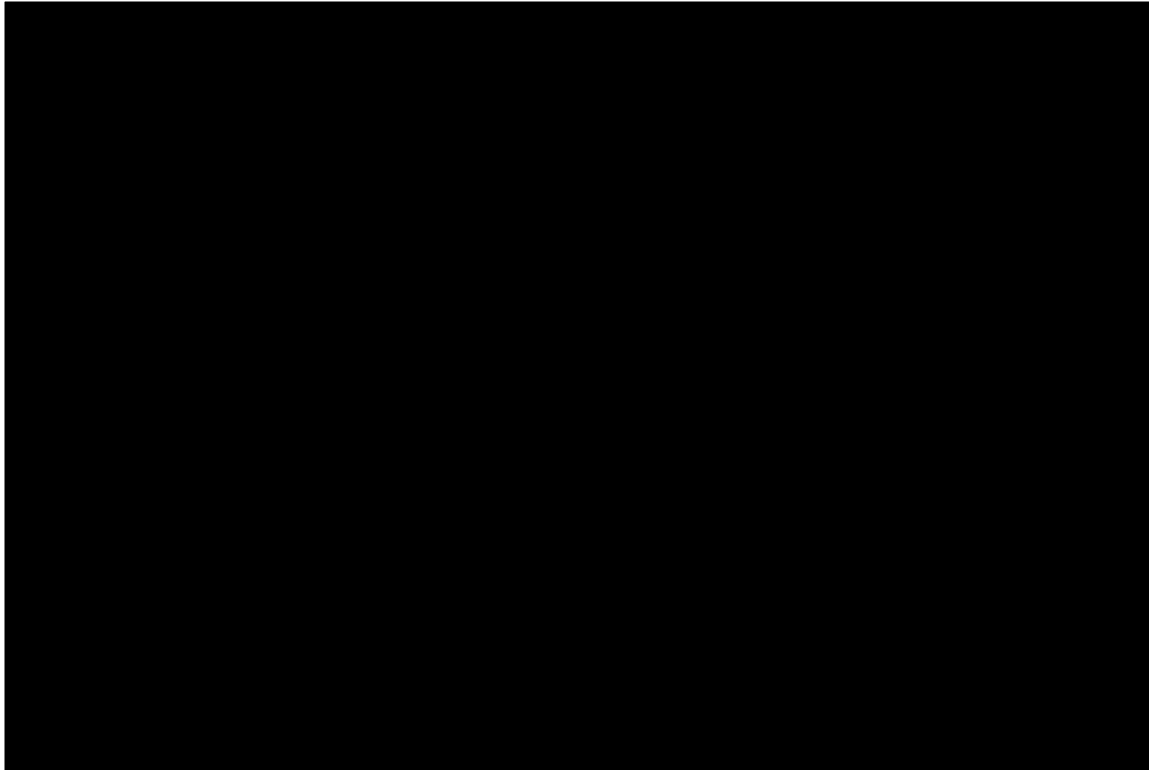
Untersuchung der Berechnung der 3D-Punktkorrelation auf hochparallelen Plattformen

Verteidigung Großer Beleg

Simon Willeke
simon.willeke@mailbox.tu-dresden.de

Dresden, 28.03.13





[1]

Gliederung

1 Aufgabenstellung

2 Grundlagen

3 Untersuchung auf dem Grafikprozessor

4 Untersuchung auf dem FPGA

5 Ergebnis

6 Ausblick

1 Aufgabenstellung

- „Zeitliche Punktkorrelation über statistische Grauwertsequenzen“
- Hochpräzisions-3D-Vermessung
- viele Bilder für eine Punktwolke erforderlich
 - hoher Rechenaufwand
 - Auswertung auf CPU dauert mehrere Sekunden
- Ziel ist Auswertung in Echtzeit:
Punktwolkenfrequenz \sim Bildfrequenz
- Institut für angewandte Optik, Friedrich Schiller Universität Jena,
Arbeitsgruppe 3D-Vermessung, Prof. Kowarschik

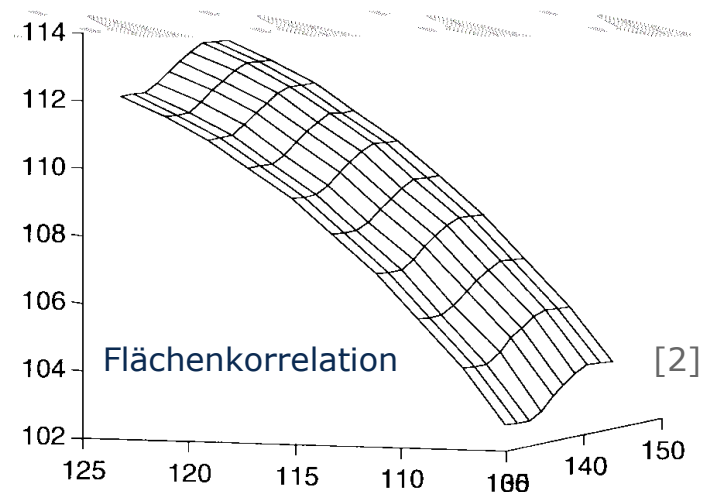
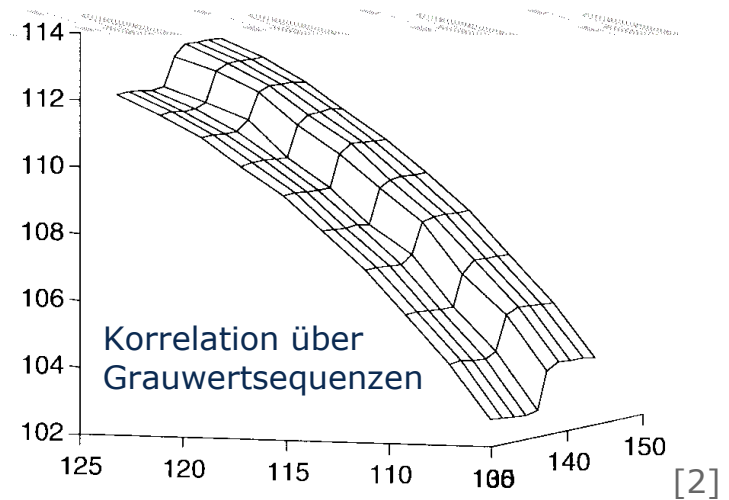
1 Aufgabenstellung

- meine Aufgabe:
Auswahl einer hochparallelen Plattform für Berechnung
- gewählte Kandidaten:
 - FPGA – Kintex7 Board KC705
 - GPU – beliebige CUDA-fähige Nvidia Grafikkarte

2 Grundlagen

Motivation

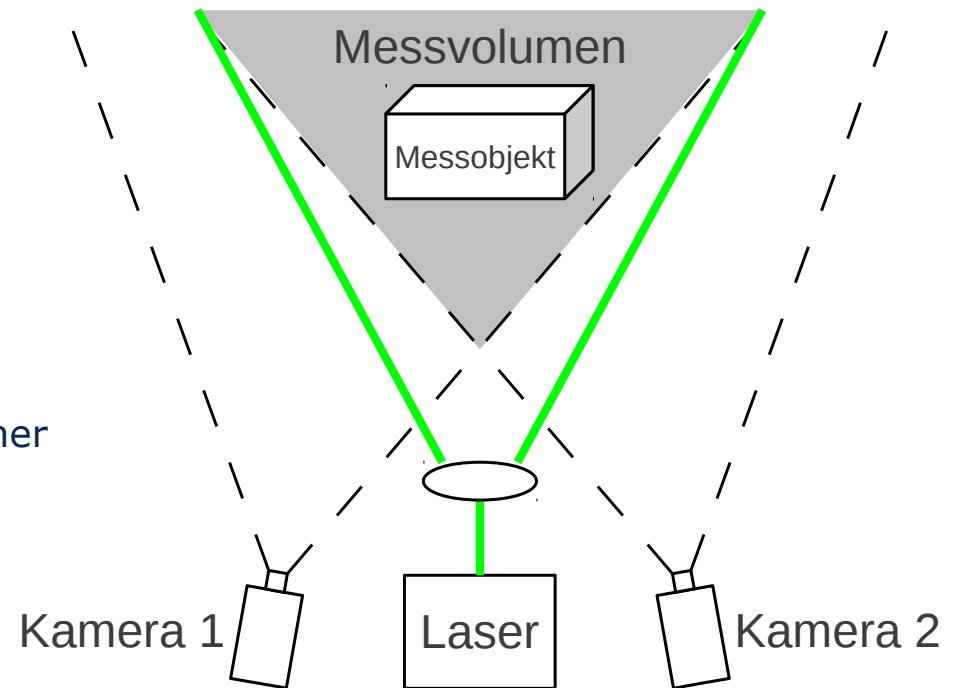
- viele Verfahren für 3D-Scanning
- Anwendungen:
 - Medizin
 - automatisierte Produktprüfung auf Produktionslinien
- besonders hohe Präzision gefordert
- pixelgenaue Tiefeninformation
 - keine Approximation von Objektkanten (Bild)



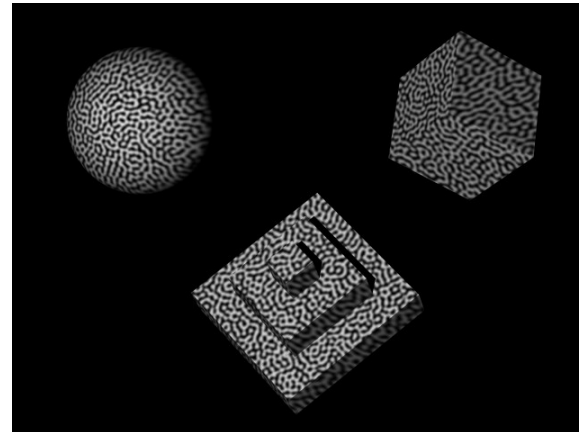
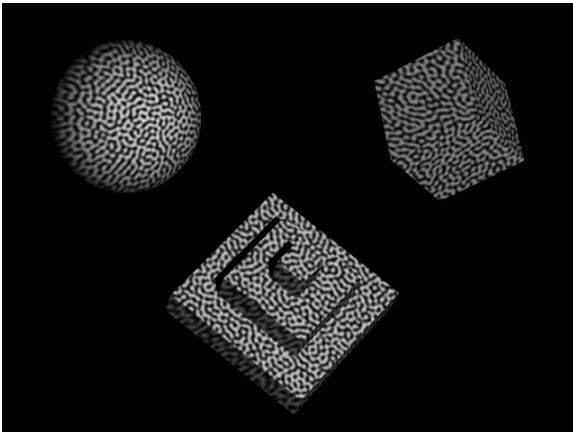
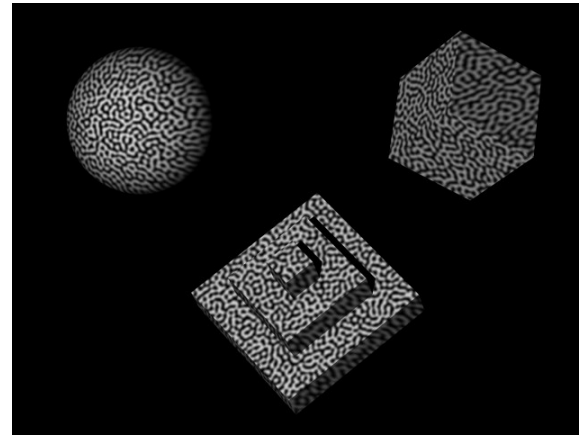
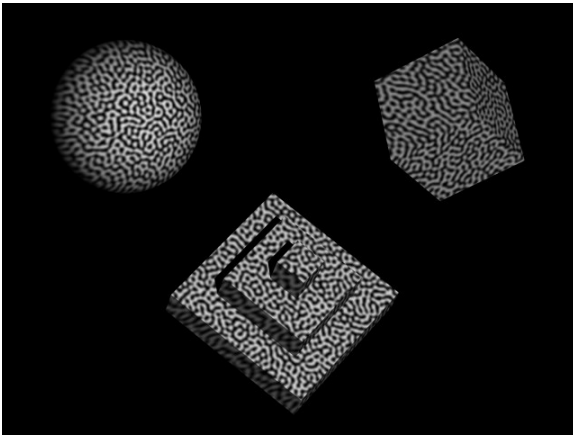
2 Grundlagen

Aufbau

- 2 Kameras (8bit Grauwerte)
- Projektion zeitveränderlicher statistischer Muster
 - Laser-Speckles (Bild)
 - Diaprojektor
- Aufnahme und Auswertung einer Sequenz von Stereobildern:
„Stereobildsequenz“



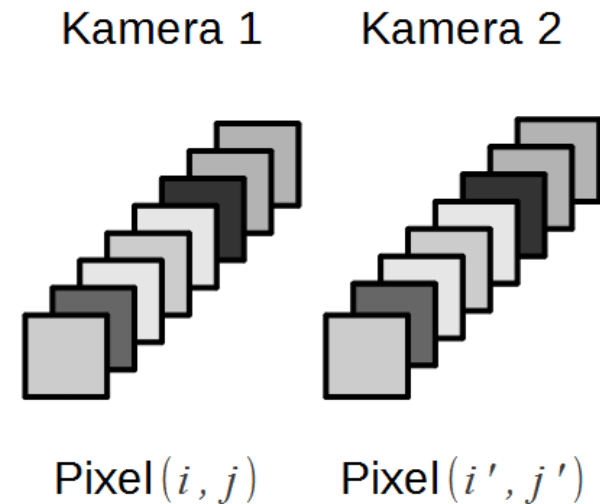
2 Grundlagen



2 Grundlagen

Basialgorithmus

- Suche nach homologen Punkten
 - Pixel im linken und rechten Bild zeigen selben Objektpunkt
 - Berechnung mittels normalisierter Kreuzkorrelation ρ
 - ρ liegt zwischen -1,0 und 1,0
 - zwei Punkte sind homolog, wenn $\max(\rho) > 0,8$
 - Objektpunkt nur von einer Kamera sichtbar \rightarrow Schwellwert wird nicht erreicht
- Triangulation

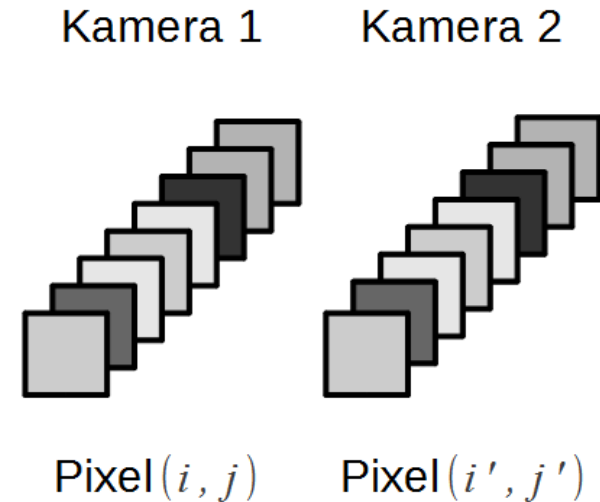


$$\rho_{i,j,i',j'} = \frac{\sum_{t=1}^N (g_{i,j,t} - \bar{g}_{i,j}) \cdot (g_{i',j',t} - \bar{g}_{i',j'})}{\sqrt{\sum_{t=1}^N (g_{i,j,t} - \bar{g}_{i,j})^2} \cdot \sqrt{\sum_{t=1}^N (g_{i',j',t} - \bar{g}_{i',j'})^2}}$$

2 Grundlagen

Basialgorithmus

- Suche nach homologen Punkten
 - Pixel im linken und rechten Bild zeigen selben Objektpunkt
 - Berechnung mittels normalisierter Kreuzkorrelation ρ
 - ρ liegt zwischen -1,0 und 1,0
 - zwei Punkte sind homolog, wenn $\max(\rho) > 0,8$
 - Objektpunkt nur von einer Kamera sichtbar \rightarrow Schwellwert wird nicht erreicht
- Triangulation

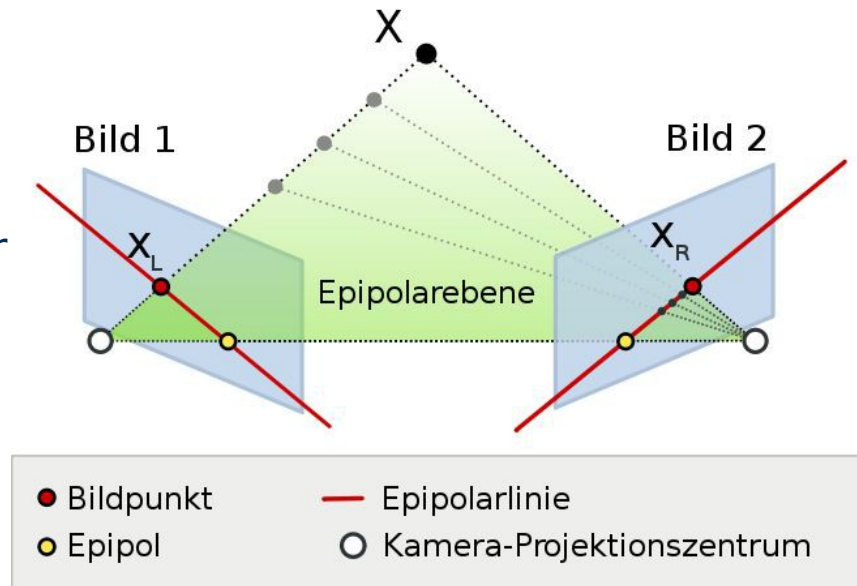


$$\rho_{i,j,i',j'} = \frac{\sum_{t=1}^N (g_{i,j,t} - \bar{g}_{i,j}) \cdot (g_{i',j',t} - \bar{g}_{i',j'})}{\sqrt{\sum_{t=1}^N (g_{i,j,t} - \bar{g}_{i,j})^2} \cdot \sqrt{\sum_{t=1}^N (g_{i',j',t} - \bar{g}_{i',j'})^2}}$$

2 Grundlagen

Verbesserung der Performance

- Punktsuche im ganzen Bild dauert sehr lange
- Beschränkung auf Epipolarlinien bei bekannten Kameraparametern
- **Rektifizierung** zur Verbesserung der *Cache Utilisation* und Pipelinebarkeit der Speicherzugriffe (Burst-Zugriff)



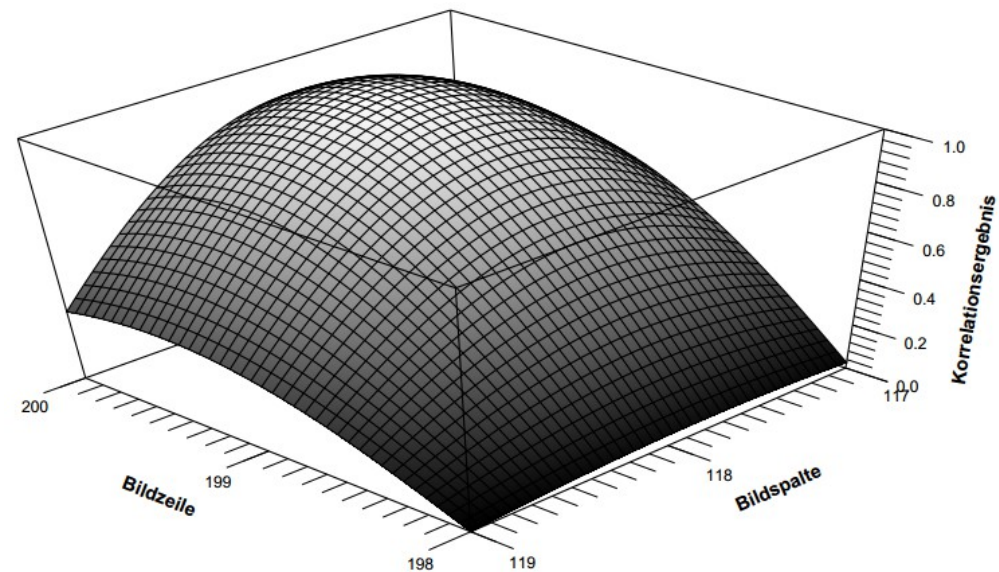
[3]

2 Grundlagen

Verbesserung der Präzision

- Punktzuordnung auf Pixelraster ungenau
- besser: Subpixelraster
 - Interpolation notwendig
- Ziel ist maximale Präzision
 - bikubische Interpolation

» Subpixelrefinement

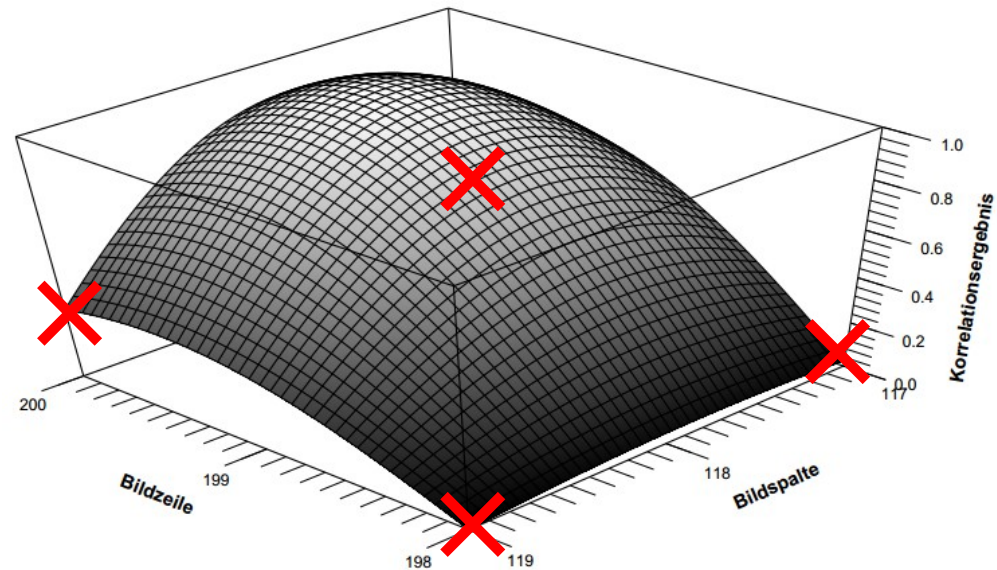


2 Grundlagen

Verbesserung der Präzision

- Punktzuordnung auf Pixelraster ungenau
- besser: Subpixelraster
 - Interpolation notwendig
- Ziel ist maximale Präzision
 - bikubische Interpolation

» Subpixelrefinement

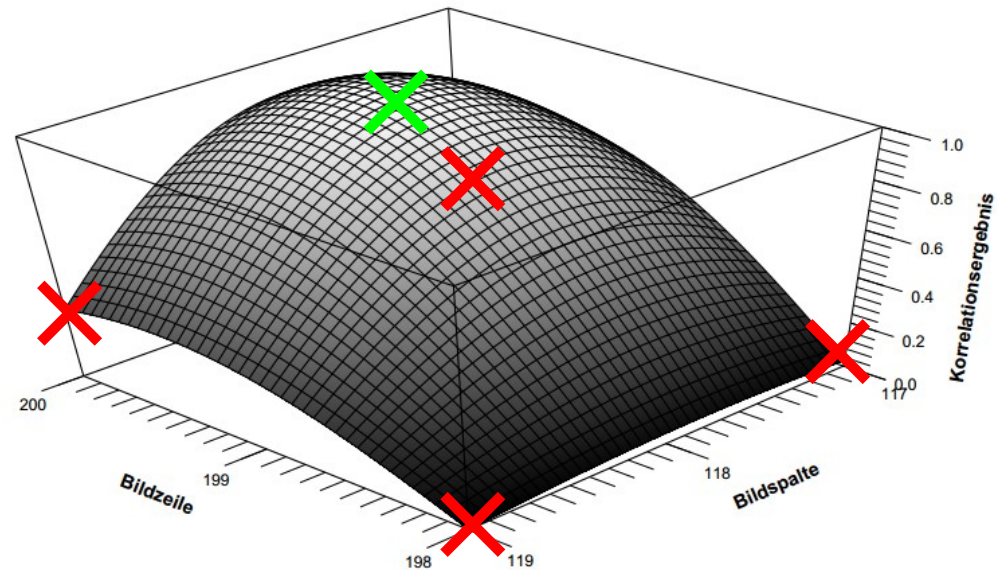


2 Grundlagen

Verbesserung der Präzision

- Punktzuordnung auf Pixelraster ungenau
- besser: Subpixelraster
 - Interpolation notwendig
- Ziel ist maximale Präzision
 - bikubische Interpolation

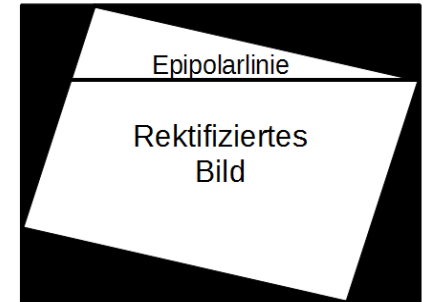
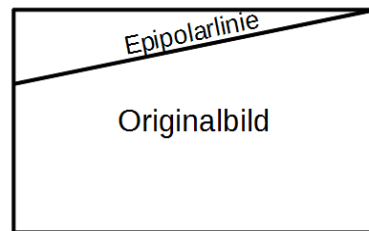
» Subpixelrefinement



2 Grundlagen

Zusammenfassung des Algorithmus

- **Rektifizierung**



- **Punktsuche**
mit vorheriger Normalisierung

$$\rho_{i,j,i',j'} = \frac{\sum_{t=1}^N (g_{i,j,t} - \bar{g}_{i,j}) \cdot (g_{i',j',t} - \bar{g}_{i',j'})}{\sqrt{\sum_{t=1}^N (g_{i,j,t} - \bar{g}_{i,j})^2} \cdot \sqrt{\sum_{t=1}^N (g_{i',j',t} - \bar{g}_{i',j'})^2}}$$

- **Subpixelrefinement**

3 Untersuchung auf dem Grafikprozessor

Implementierung in CUDA

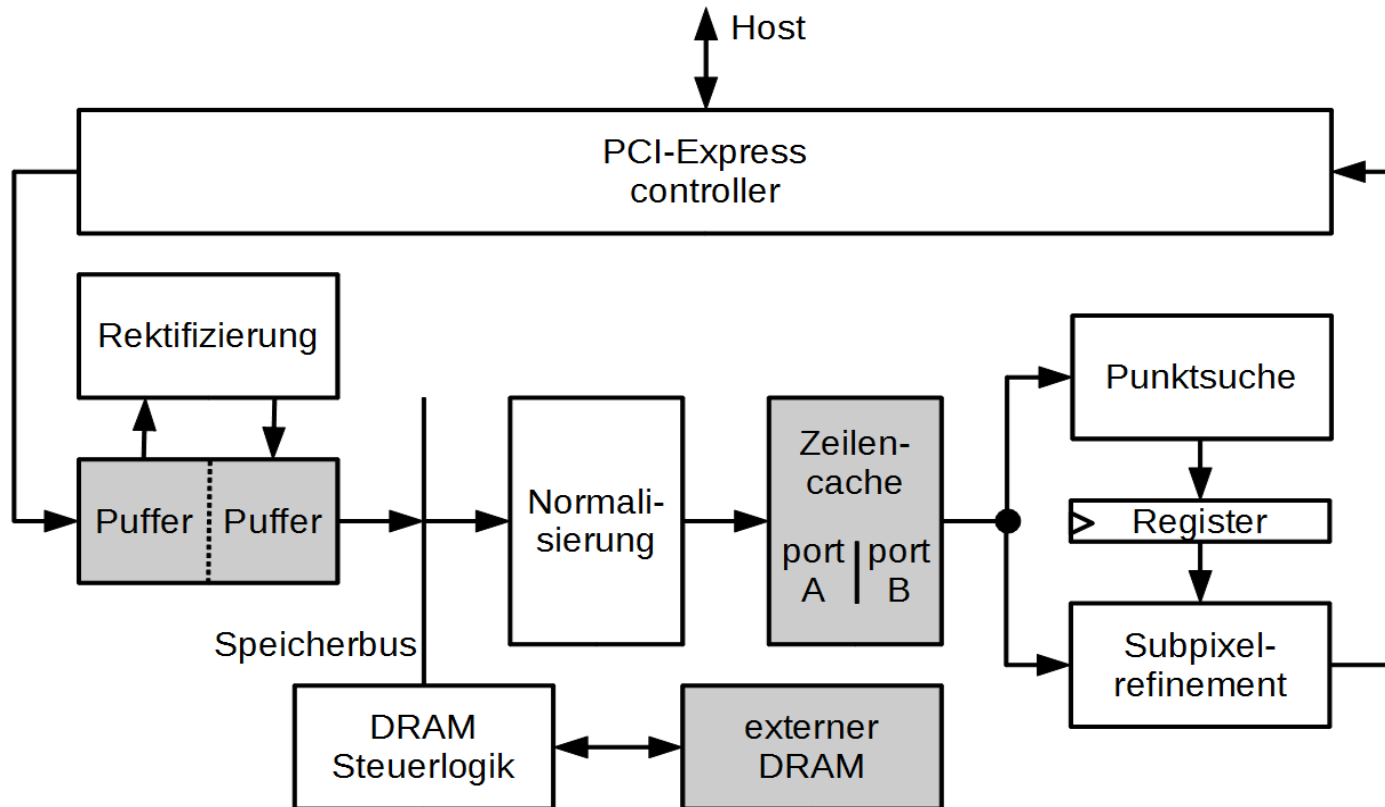
- Vollständige Implementierung auf Basis von *Correlation Expert* und *Shape Measurement Toolkit (SMTK)*
- CUDA als Plattform wegen:
 - verfügbarer Hardware an beiden Lehrstühlen
 - minimal besserer Performance gegenüber OpenCL
- Entwurf eines Kernels für jeden Teilalgorithmus
 - Partitionierung: ein Block per Zeile, ein Thread per Pixelsequenz

3 Untersuchung auf dem Grafikprozessor

Implementierung in CUDA

- Probleme:
 - *Shared Memory* zu klein für komplette Bildsequenzzeile
 - Konstantenspeicher nicht benutzt
 - Handoptimierung aufgrund eingeschränkter Registerzahl
 - *Branch Divergence* bei Punktsuche und Subpixelrefinement
 - Overhad bis zu 77%
- Erfolge:
 - Rektifizierung und Normalisierung ohne *Branch Divergence*
 - gute Texturcache-Nutzung aufgrund 2D-Lokalität
- Optimierungsmöglichkeiten:
 - Algorithmen für Punktsuche und Subpixelrefinement vereinfachen
 - keine *Branch Divergence*, dafür überflüssige Berechnungen

4 Untersuchung auf dem FPGA Blockdiagramm des Designs



4 Untersuchung auf dem FPGA

FPGA Entwurf

- keine VHDL Implementierung
- Entwurf der Teilalgorithmen auf Papier
- Abschätzung zu Ressourcenverbrauch und Geschwindigkeit

- kritische Ressourcen sind Multiplizierer und BlockRAMs

- Flaschenhals DRAM?
 - DDR3, 800MHz, 64bit Datenbus
 - theoretisch über 4400fps!
 - ca. 4200 Takte je Stereobildsequenzzeile

4 Untersuchung auf dem FPGA

FPGA Entwurf

- Punktsuche sehr langsam
 - sequentielle Suche dauert min. 22000 Takte je Zeile
 - DRAM nur 4200 Takte je Zeile
 - parallele Punktsuche
 - mehrfach je Zeile
 - in mehreren Zeilen → großer Zeilencache
- Subpixelrefinement
 - parallelisierbar, jede Einheit verarbeitet ein Punktpaar
 - ca. 1200 Multiplizierer für vollst. Pipeline notwendig

4 Untersuchung auf dem FPGA

FPGA Entwurf

- Beispielenwürfe:

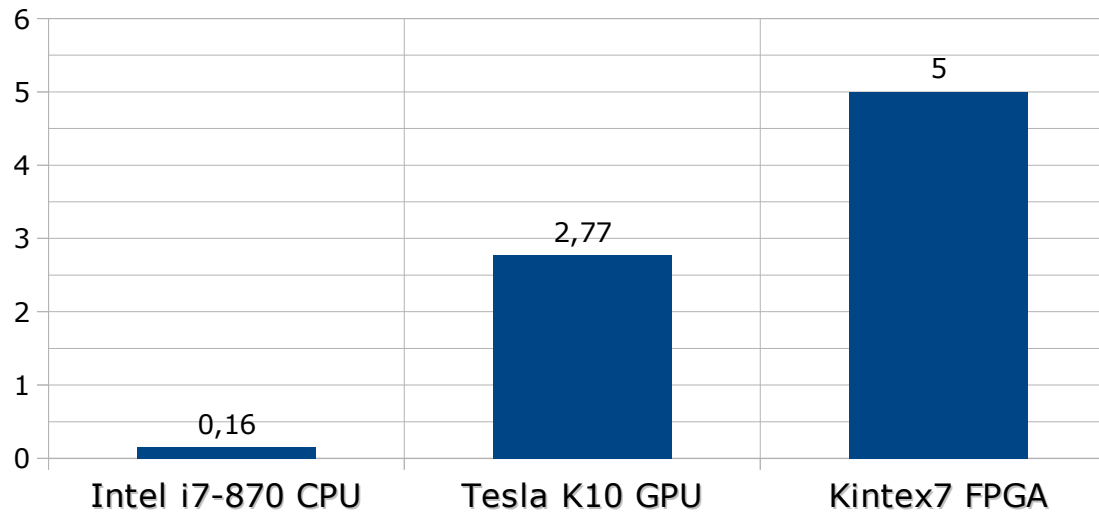
Entwurf	Geschwindigkeit	kritische Ressourcen	
		DSP Slices	BlockRAM 36k
<0.5, 2, 0.5>	5 Hz	690	272
<1, 4, 1>	11 Hz	1332	356
<4, 8, 4>	46 Hz	5184	583
<16, 64, 16>	184 Hz	20592	2891

- Entwurf: <Rektifizierungsmodule, Punktsuchemodule, Refinementmodule>
- Geschwindigkeit in 3D-Rekonstruktionen pro Sekunde

5 Ergebnis

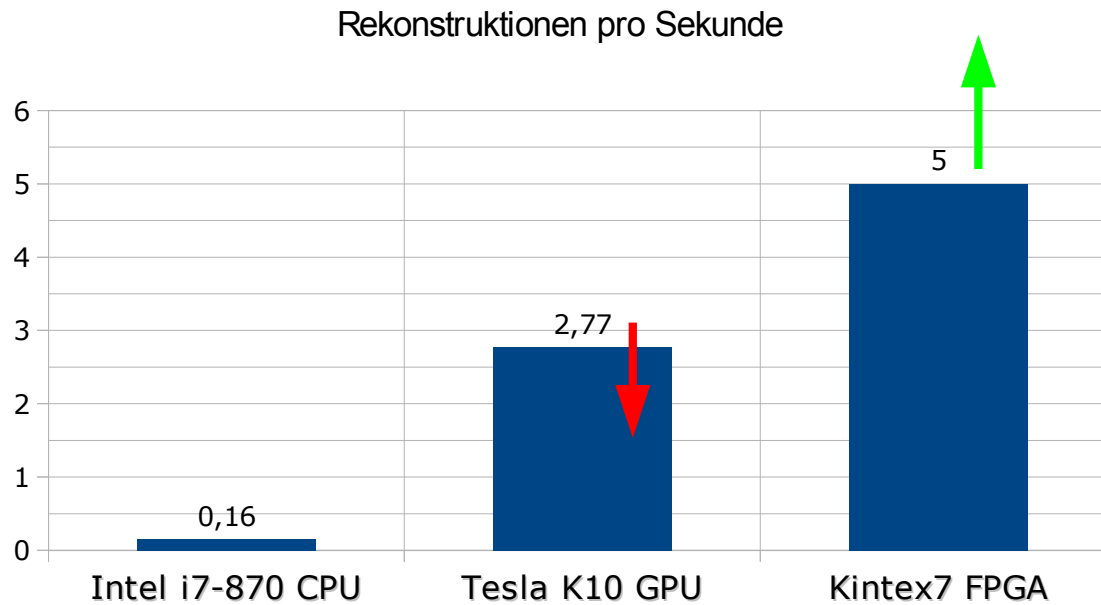
Vergleich der Plattformen

Rekonstruktionen pro Sekunde



5 Ergebnis

Vergleich der Plattformen



6 Ausblick

Maßgeschneiderte Algorithmen für den FPGA

- Interpolationsalgorithmen ohne Multiplikationen
- Refinementalgorithmen ohne Normalisierung
- Herausfiltern strukturloser Punkte

Kombination der Vorteile

- Teilalgorithmen ohne *Branch Divergence* auf GPU
- komplexe Algorithmen auf dem FPGA

oder

- hochinterpolieren der Bilder auf GPU
- Punktsuche ohne Subpixelrefinement auf FPGA

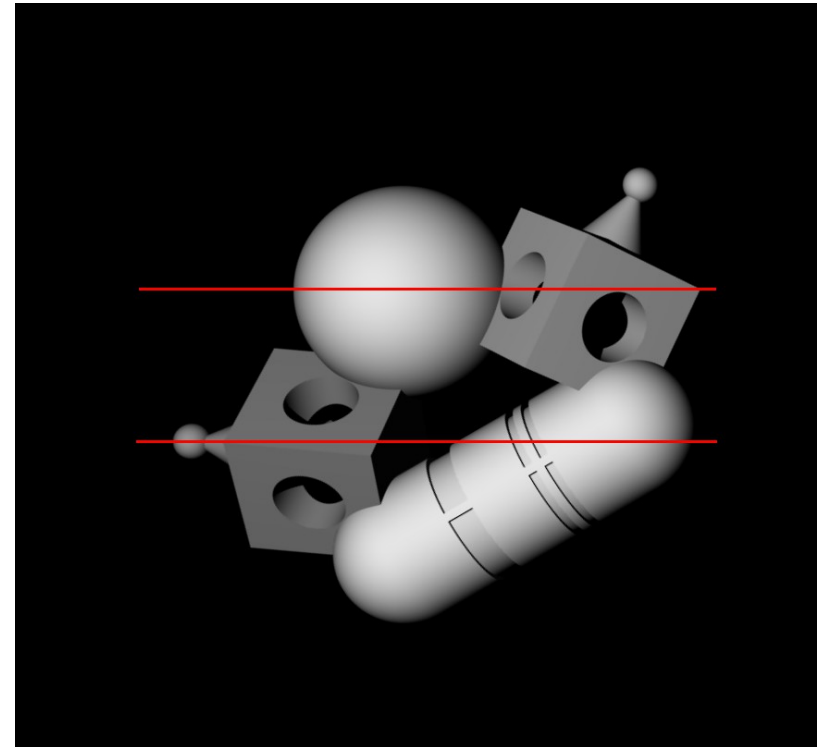
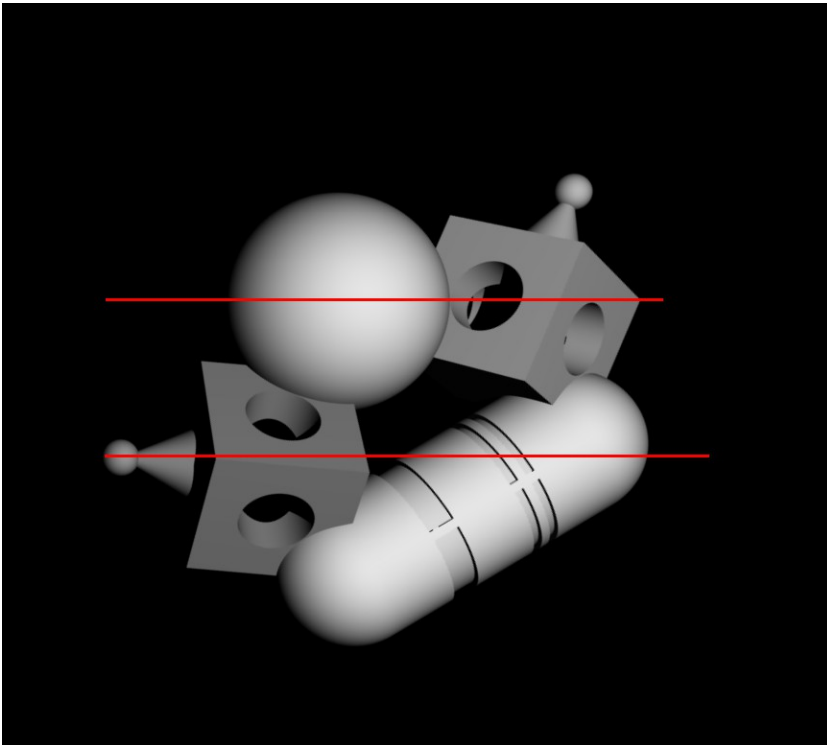
Quellen

- [1] YouTube Kanal der Arbeitsgruppe 3D-Vermessung
<http://www.youtube.com/user/IAOag3DVermessung>
- [2] P. Albrecht et al. (1998): „Improvement of the Spatial Resolution of an optical 3-D measurement Procedure“, IEEE Transactions on Instrumentation and Measurement, Vol. 47. No. 1, February 1998.
- [3] www2.informatik.hu-berlin.de/cv/index.php?menu=teaching&submenu=overviewteaching&mode=overviewteaching
- [4] T. Luhmann. Nahbereichsphotogrammetrie. Grundlagen, Methoden und Anwendungen. Herbert Wichmann Verlag, Heidelberg, 2003.
- [5] J. Sanders, E. Kandrot. CUDA by Example: An Introduction to General-Purpose GPU Programming. Addison-Wesley Longman, Amsterdam, 1 edition, Juli 2010.
- [6] M. Schaffer, M. Grosse, R. Kowarschik. High-speed pattern projection for three-dimensional shape measurement using laser speckles. Applied Optics, 49(18): S 3622–3629, Juni 2010.



»Wissen schafft Brücken.«

Anhang



Anhang

hier Versuchsvideo